Rotor 3

- Français
- English

Downloadable models
×

Open access

Git project

About

Rotor 3 is part of a research program to study study the effects of blade solidity on efficiency and stall margin of an axial-flow compressor rotor. It is one of a series of rotors designed with varying blade solidity achieved by changing the blade chord length : rotor 3 with a tip solidity of 1.3, rotor 4 with a tip solidity of 1.1 and rotor 5 with a tip solidity of 1.5.

Results show that the pressure ratio, temperature ratio and efficiency of this rotor are higher than design predicted values because of the actual losses being generally lower than those assumed in the design.

- Original NASA technical report [(cite:hager1972performance>Hager. «Performance of a 1380-foot-per-second-tip-speed axial-flow compressor rotor with a blade tip solidity of 1.3 » 2013. pdf)]:

```
@TechReport{hager1972performance,
  author           = {Hager, Roy D and Janetzke, David C and Reid,
Lonnie},
  date             = {1972},
  institution      = {NASA Lewis Research Center Cleveland, OH, United
States},
  title            = {Performance of a 1380-foot-per-second-tip-speed
axial-flow compressor rotor with a blade tip solidity of 1.3},
  number           = {NASA-TM X-2448},
  url              = {https://ntrs.nasa.gov/citations/19720012341},
}
```

- Pictures :

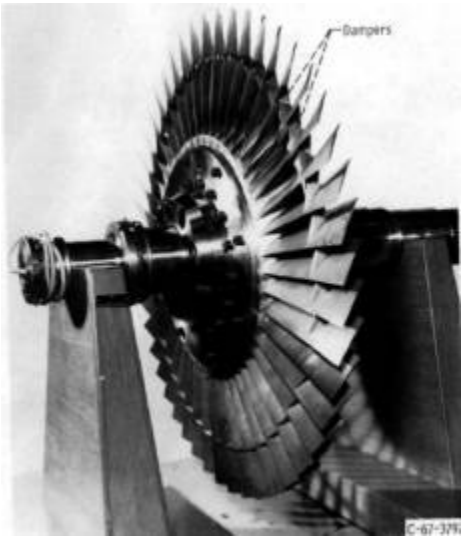


Fig1. https://ntrs.nasa.gov/citations/19720012341 p.66

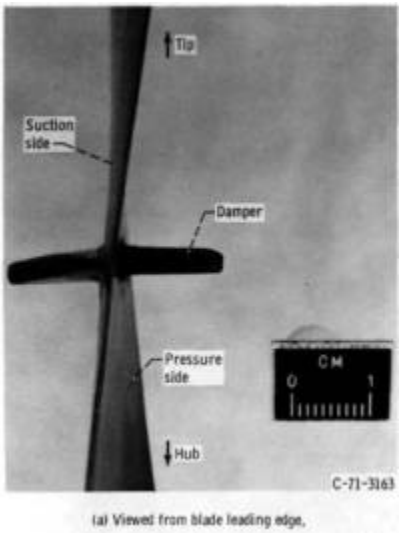


Fig2. https://ntrs.nasa.gov/citations/19720012341 p.67

Useful documents

- downloadable models (Git project)
  - NASA technical report (.pdf)
  - geometrical parameters file (.csv), usable as input of OpenMCAD[(cite:Kojtych_2022_gene_aubes>Kojtych S., Batailly A. «OpenMCAD, an open blade generator: from Multiple-Circular-Arc profiles to Computer-Aided Design model» 2022. code en libre accès)] to generate reference blade models.

Reference blade

The **reference blade** is defined with multiple-circular arc profiles[(cite:Crouse_1969_computer)] given in the original NASA report[(cite:hager1974design)]. Corresponding models are computed with the open-

source code OpenMCAD[(cite:Kojtych_2022_gene_aubes)].

Geometry

The geometry of rotor 3 is described in the original NASA report by the following table. The lenghts are in inches and the angles in degrees.

TABLE III. - BLADE GEOMETRY FOR ROTOR 3

RP	PERCENT SPAN	RADII RI	RADII RO	BLADE ANGLES KIC	BLADE ANGLES KTC	BLADE ANGLES KOC	DELTA INC
TIP	0.	9.885	9.769	62.50	58.45	47.30	2.10
1	5.	9.729	9.578	61.80	57.37	46.80	2.26
2	10.	9.510	9.386	60.62	55.92	46.30	2.57
3	30.	8.598	8.620	55.62	50.08	44.42	4.11
4	40.	8.127	8.237	53.20	47.11	41.00	4.90
5	42.	8.020	8.142	52.60	46.43	40.03	5.04
6	45.	7.893	8.046	52.00	45.63	39.13	5.17
7	48.	7.772	7.950	51.44	44.85	38.03	5.34
8	50.	7.652	7.854	50.90	44.07	37.03	5.47
9	70.	6.665	7.089	46.70	37.25	27.45	6.54
10	90.	5.558	6.323	44.20	29.54	14.55	7.31
11	95.	5.240	6.131	44.10	27.26	10.82	7.42
HUB	100.	5.000	5.940	44.00	25.51	6.10	7.47

RP	BLADE THICKNESSES TI	BLADE THICKNESSES TM	BLADE THICKNESSES TO	AXIAL DIMENSIONS ZMC	AXIAL DIMENSIONS ZTC	AXIAL DIMENSIONS ZOC	CONE ANGLE
TIP	0.020	0.061	0.020	0.563	0.563	0.894	-6.300
1	0.020	0.064	0.020	0.564	0.564	0.927	-5.800
2	0.020	0.068	0.020	0.565	0.565	0.962	-4.700
3	0.020	0.085	0.020	0.552	0.552	1.109	0.900
4	0.020	0.094	0.020	0.551	0.551	1.183	4.100
5	0.020	0.096	0.020	0.561	0.561	1.200	5.000
6	0.020	0.098	0.020	0.573	0.573	1.217	5.800
7	0.020	0.101	0.020	0.581	0.581	1.234	6.700
8	0.020	0.103	0.020	0.589	0.589	1.252	7.600
9	0.020	0.122	0.020	0.650	0.650	1.390	15.600
10	0.020	0.143	0.020	0.689	0.689	1.486	26.800
11	0.020	0.149	0.020	0.688	0.688	1.488	30.400
HUB	0.020	0.154	0.020	0.685	0.685	1.486	32.600

Aerodynamic design

	unit	values
pressure ratio	[-]	1.801
mass flow	[kg/s]	29
tip speed	[m/s]	420.6
tip solidity	[-]	1.3
aspect ratio	[-]	2.53
rotative speed	[rad/s]	1675.52

Material properties

The material of rotor 3 is defined in the original NASA report. A 200-grade maraging steel is considered:

	unit	value

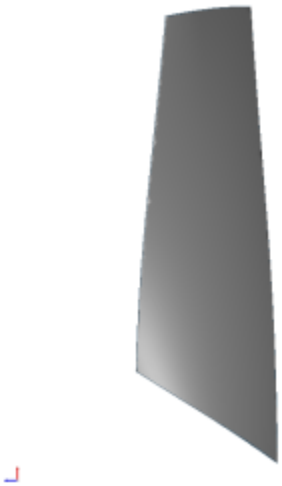
	unit	value
alloy	[-]	18-Ni-200-maraging
Young's modulus	[GPa]	180
density	[kg/m3]	8000
Poisson's ratio	[-]	0.3
yield stress	[GPa]	1.38

CAD model

The CAD model is computed with the open source code OpenMCAD[(cite:Kojtych_2022_gene_aubes)].



intrados



extrados

Natural frequencies

First three natural frequencies (with clamped root) for the mesh computed with OpenMCAD[(cite:Kojtych_2022_gene_aubes)]:

Mode	Type	Natural angular frequency (rad/sec)	Natural frequency (Hz)
1	À Remplir stp	1722.54	274,15
2	À Remplir stp	6548.96	1042,3
3	À Remplir stp	8224.31	1308,94

Initial blade

The **initial blade** is defined with in-house LAVA parameters[(cite:Kojtych_2022_Methodology)] computed from the reference blade CAD model. The initial blade is usually used as starting point for an optimization process. Its geometry is similar to the one of the reference blade.

Natural frequencies

First three natural frequencies (with clamped root)

- from the whole mesh:

Mode	Type	Natural angular frequency (rad/sec)	Natural frequency (Hz)
1	À Remplir stp	1728.06	275,029
2	À Remplir stp	6559.27	1043,94
3	À Remplir stp	8243.04	1311,92

- from the reduced order model:

Mode	Type	Natural angular frequency (rad/sec)	Natural frequency (Hz)
1	À Remplir stp	1728.11	275,038
2	À Remplir stp	6561.34	1044,27
3	À Remplir stp	8245.298	1312,28

Modèles téléchargeables

×

Libre accès

lien vers le projet Git

À propos

Le rotor 3 fait partie d'un programme de recherche pour étudier les effets de la solidité des pales sur le rendement et la marge de décrochage d'un compresseur à flux axial. Il fait partie d'une série de rotors conçus avec une solidité d'aube variable obtenue en modifiant la longueur de la corde de l'aube : le rotor 3 possède une solidité en tête de 1.3, le rotor 4 possède une solidité en tête de 1.1 et le rotor 5 possède une solidité en tête de 1.5.

Les résultats montrent que le taux de compression, le ratio de température et le rendement du rotor 3 sont plus élevés que ceux prévus lors de la conception car les pertes effectives sont inférieures à celles estimées lors de la conception.

- Rapport technique original [(cite:hager1972performance>)]:

```
@TechReport{hager1972performance,
  author           = {Hager, Roy D and Janetzke, David C and Reid,
Lonnie},
  year            = {1972},
  institution      = {NASA Lewis Research Center Cleveland, OH, United
States},
  title           = {Performance of a 1380-foot-per-second-tip-speed
axial-flow compressor rotor with a blade tip solidity of 1.3},
  number           = {NASA-TM X-2448},
  url              = {https://ntrs.nasa.gov/citations/19720012341},
}
```

- Photographies :

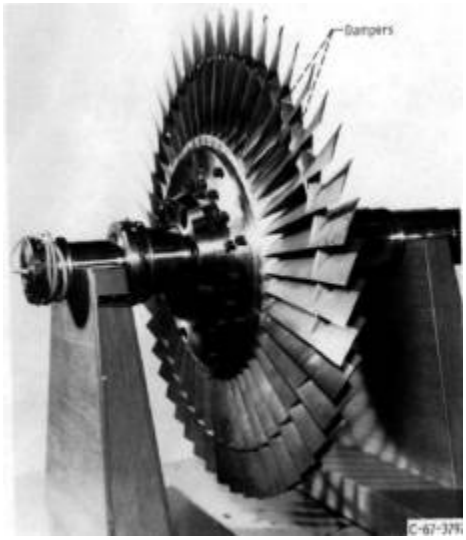


Fig1. https://ntrs.nasa.gov/citations/19720012341 p.66

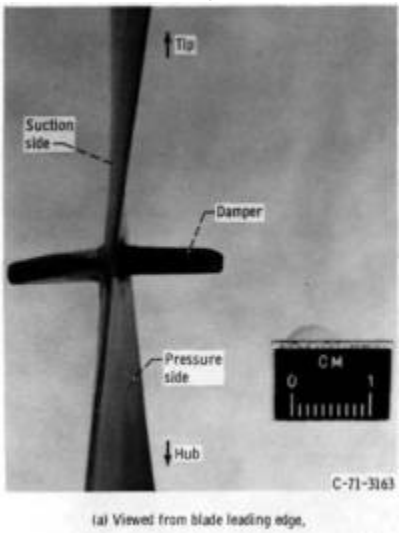


Fig2. https://ntrs.nasa.gov/citations/19720012341 p.67

Documents utiles

- modèles téléchargeables (lien vers projet Git)
  - rapport technique original de la NASA (.pdf)
  - fichier de paramètres géométriques (.csv), utilisable en entrée de OpenMCAD[(cite:Kojtych_2022_gene_aubes>Kojtych S., Batailly A. «OpenMCAD, an open blade generator: from Multiple-Circular-Arc profiles to Computer-Aided Design model» 2022. code en libre accès)] pour générer l'aube de référence

Aube de référence

L'**aube de référence** est définie par des profils de type arcs circulaires multiples[(cite:Crouse_1969_computer>Crouse *et al*. «A computer program for composing compressor blading from simulated circular-arc elements on conical surfaces » 1969. NASA-TN-D-5437. pdf)], donnés dans le rapport technique original de la NASA[(cite:hager1974design)]. Les modèles associés sont obtenus avec le code en libre accès OpenMCAD[(cite:Kojtych_2022_gene_aubes)].

Géométrie

La géométrie du rotor 3 est décrite dans le rapport d'origine de la NASA par les tableaux suivants. Les grandeurs sont en pouces et en degrés.

TABLE III. - BLADE GEOMETRY FOR ROTOR 3

RP	PERCENT SPAN	RADII RI	RO	BLADE ANGLES KIC	KTC	KOC	DELTA INC
TIP	0.	9.885	9.769	62.50	58.45	47.30	2.10
1	5.	9.729	9.578	61.80	57.37	46.80	2.26
2	10.	9.510	9.386	60.62	55.92	46.30	2.57
3	30.	8.598	8.620	55.62	50.08	44.42	4.11
4	40.	8.127	8.237	53.20	47.11	41.00	4.90
5	42.	8.020	8.142	52.60	46.43	40.03	5.04
6	45.	7.893	8.046	52.00	45.63	39.13	5.17
7	48.	7.772	7.950	51.44	44.85	38.03	5.34
8	50.	7.652	7.854	50.90	44.07	37.03	5.47
9	70.	6.665	7.089	46.70	37.25	27.45	6.54
10	90.	5.558	6.323	44.20	29.54	14.55	7.31
11	95.	5.240	6.131	44.10	27.26	10.82	7.42
HUB	100.	5.000	5.940	44.00	25.51	6.10	7.47

RP	BLADE THICKNESSES TI	TM	TO	AXIAL DIMENSIONS ZMC	ZTC	ZOC	CONE ANGLE
TIP	0.020	0.061	0.020	0.563	0.563	0.894	-6.300
1	0.020	0.064	0.020	0.564	0.564	0.927	-5.800
2	0.020	0.068	0.020	0.565	0.565	0.962	-4.700
3	0.020	0.085	0.020	0.552	0.552	1.109	0.900
4	0.020	0.094	0.020	0.551	0.551	1.183	4.100
5	0.020	0.096	0.020	0.561	0.561	1.200	5.000
6	0.020	0.098	0.020	0.573	0.573	1.217	5.800
7	0.020	0.101	0.020	0.581	0.581	1.234	6.700
8	0.020	0.103	0.020	0.589	0.589	1.252	7.600
9	0.020	0.122	0.020	0.650	0.650	1.390	15.600
10	0.020	0.143	0.020	0.689	0.689	1.486	26.800
11	0.020	0.149	0.020	0.688	0.688	1.488	30.400
HUB	0.020	0.154	0.020	0.685	0.685	1.486	32.600

Caractéristiques aérodynamiques

	unités	valeurs
taux de compression	[-]	1.801
débit massique	[kg/s]	29
vitesse en tête	[m/s]	420.6
solidité en tête	[-]	1.3
allongement	[-]	2.53
vitesse de rotation	[rad/s]	1675.52

Propriétés matériau

Le matériau original du rotor 3 est défini dans le rapport de la NASA. Un acier maraging de grade 200 est considéré:

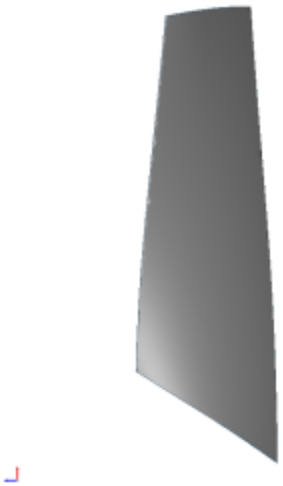
	unité	valeurs
alliage	[-]	18-Ni-200-maraging
module d'Young	[GPa]	180
masse volumique	[kg/m3]	8000
coefficient de Poisson	[-]	0,3
limite élastique	[GPa]	1,38

Modèle CAO

Le modèle CAO est obtenu avec OpenMCAD[(cite:Kojtych_2022_gene_aubes)].



intrados



extrados

Fréquences propres

Fréquences des trois premiers modes (noeuds du pied d'aube encastrés) pour le maillage obtenu avec OpenMCAD[(cite:Kojtych_2022_gene_aubes)] :

Mode	Type	Pulsation propre (rad/sec)	Fréquence propre (Hz)
1	À Remplir stp	1722.54	274,15
2	À Remplir stp	6548.96	1042,3
3	À Remplir stp	8224.31	1308,94

Aube initiale

L'**aube initiale** est définie par des paramètres spécifiques au LAVA[(cite:Kojtych_2022_Methodology>Kojtych S. *et al*. «Methodology for the Redesign of Compressor

Blades Undergoing Nonlinear Structural Interactions: Application to Blade-Tip/Casing Contacts » 2022. Journal of Engineering for Gas Turbines and Power, Vol. 145, No. 5. pdf)] obtenus à partir du modèle CAO de l'aube de référence. L'aube initiale est classiquement utilisée comme point de départ dans le cadre de procédures d'optimisation; sa géométrie est similaire à celle de l'aube de référence.

Fréquences propres

Fréquences des trois premiers modes (noeuds du pied d'aube encastrés),

- pour le maillage complet :

Mode	Type	Pulsation propre (rad/sec)	Fréquence propre (Hz)
1	À Remplir stp	1728.06	275,029
2	À Remplir stp	6559.27	1043,94
3	À Remplir stp	8243.04	1311,92

- pour le modèle réduit :

Mode	Type	Pulsation propre (rad/sec)	Fréquence propre (Hz)
1	À Remplir stp	1728.11	275,038
2	À Remplir stp	6561.34	1044,27
3	À Remplir stp	8245.298	1312,28

</tabs>

Document issu de la page wiki:
https://wiki.lava.polymtl.ca/public/modeles/rotor_03/accueil?rev=1677694567

Dernière mise à jour: **2023/04/05 08:59**